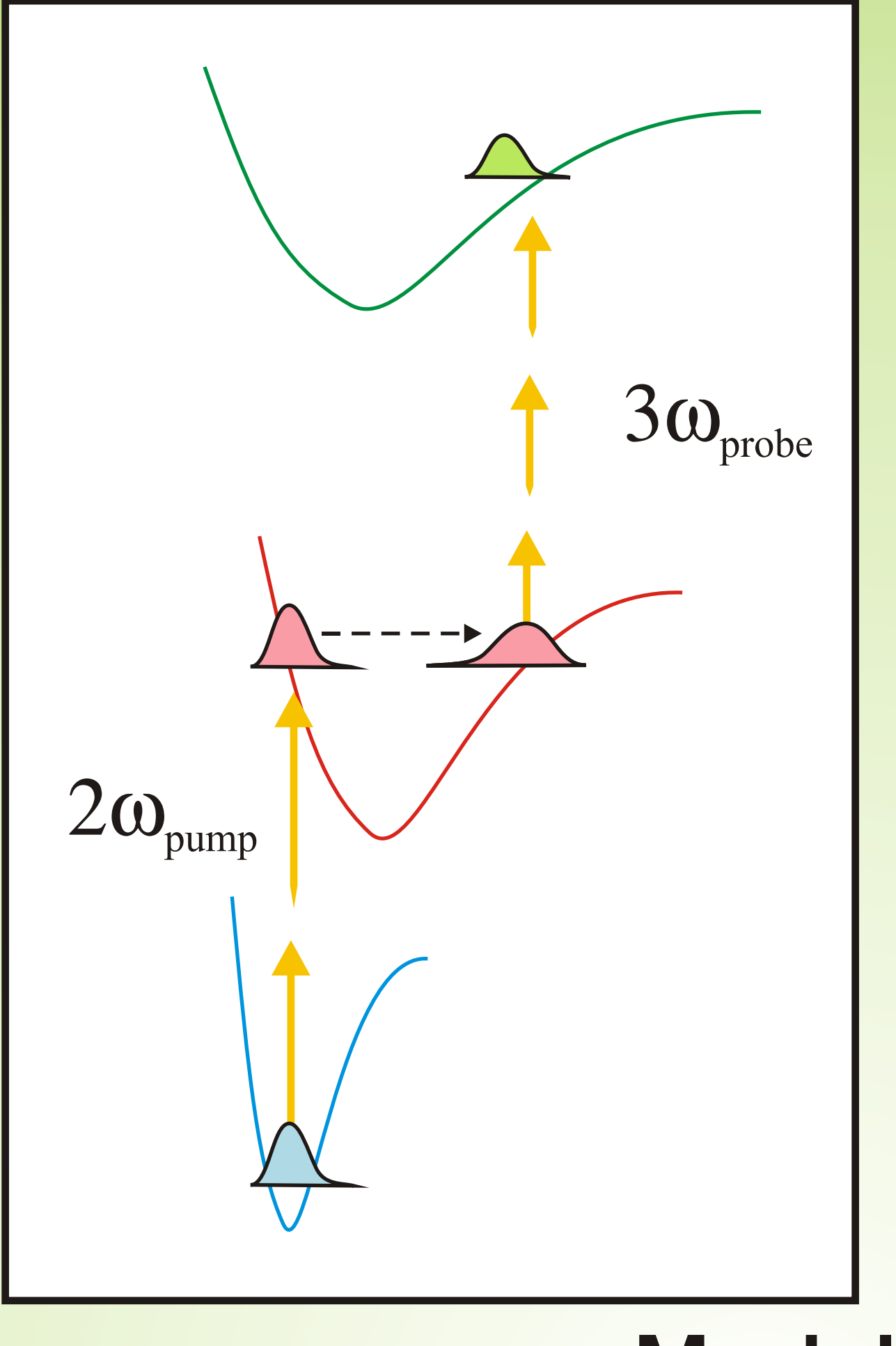
# Nicht-resonante Multiphoton-Übergänge (Zusammenarbeit mit dem TP C1 und A1)



Multiphoton-Übergänge ohne ohne resonante Zwischenzustände

#### Modell

Hamilton–Operator für ein molekulares System mit den adiabatischen elektronischen Zuständen  $\varphi_a\ (a=g,e,f)$ 

$$H = H_{\text{mol}} + H_{\text{field}}(t) \equiv \sum_{a} H_{a}(q) |\varphi_{a}\rangle \langle \varphi_{a}| - \mathbf{n}[E(t)e^{-i\omega t} + \text{c.c.}] \left[\sum_{a \neq b} \mathbf{d}_{ab} |\varphi_{a}\rangle \langle \varphi_{b}| + \text{h.c.}\right]$$

Entwicklung der Lösung der zeitabhängigen Schrödinger–Gleichung nach adiabatischen Elektron–Schwingungszuständen  $\psi_{aM}=\chi_{aM}\varphi_a$ 

$$|\Psi(t)\rangle = \sum_{aM} C_{aM}(t)|\psi_{aM}\rangle \equiv \sum_{aM} e^{-i\omega_{eM}(t-t_0)} \langle \psi_{aM}|S(t,t_0;\mathbf{E})|\psi_{g0}\rangle |\psi_{aM}\rangle$$

#### 2-Photonen-Absorption

nicht-resonante 2-Photonenabsorption (2 $\hbar\omegapprox E_e-E_g$ ) charakterisiert durch

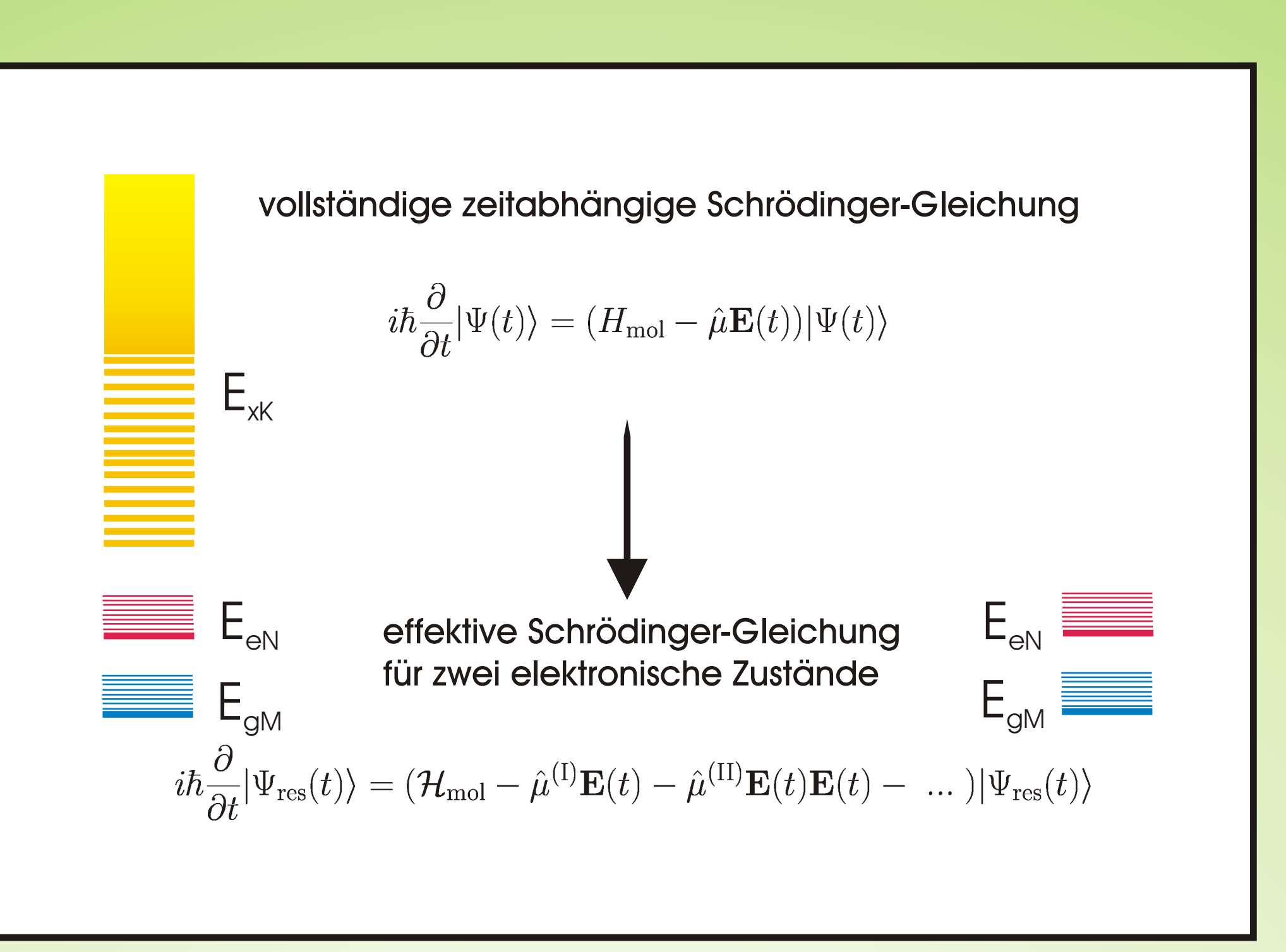
$$C_{eM}(t) \approx e^{-i\omega_{eM}(t-t_0)} \langle \psi_{eM} | S^{(2)}(t, t_0; \mathbf{E}) | \psi_{g0} \rangle$$

$$= -\frac{e^{-i\omega_{eM}(t-t_0)}}{\hbar^2} \int\limits_{t_0}^t d\tau_1 \int\limits_{t_0}^{\tau_1} d\tau_2 \langle \psi_{eM} | [\mathbf{E}(\tau_1)\hat{\mu}^{(I)}(\tau_1)] [\mathbf{E}(\tau_2)\hat{\mu}^{(I)}(\tau_2)] | \psi_{gN} \rangle$$

cw–Anregung mit  $\mathbf{d}_{eg}=0$ 

$$C_{eM}(t) = -e^{-i\omega_{eM}(t-t_0)-i2\omega t_0} \frac{E^2}{\hbar^2} \sum_{xK} \frac{d(eM, xK)d(xK, gN)}{\omega_{xK} - \omega_{gN} - \omega}$$

$$(\frac{1}{\omega_{eM} - \omega_{gN} - 2\omega + i\epsilon} - \frac{1}{\omega_{eM} - \omega_{xK} - \omega + i\epsilon})$$



### Ableitung der effektiven Kopplung

Projektion auf die Anfangs- und Endzustände der Multiphoton-Übergänge  $\rightarrow$  Aufbau des Zustandsraumes der resonanten Zustände

$$\hat{P} = \sum_{a} |\varphi_a\rangle\langle\varphi_a| \qquad |\Psi_{\rm res}(t)\rangle = \hat{P}|\Psi(t)\rangle$$

Projektion auf die nicht-resonanten Zustände  $\to$  Aufbau des Zustandsraumes der nicht-resonanten Zustände

$$1 - \hat{P} \equiv \hat{Q} = \sum_{x} |\varphi_x\rangle\langle\varphi_x| \qquad |\Psi_{\text{nonr}}(t)\rangle = \hat{Q}|\Psi(t)\rangle$$

Ableitung einer effektiven zeitabhängigen Schrödinger-Gleichung, gültig im Zustandsraum der resonanten Zustände

$$i\hbar rac{\partial}{\partial t} |\Psi_{
m res}(t)
angle = (\mathcal{H}_{
m mol} + \mathcal{H}_{
m field}(t)) |\Psi_{
m res}(t)
angle + \int\limits_{t_0}^t dar{t} \; \mathcal{H}_{
m field}^{
m (eff)}(t,ar{t}) |\Psi_{
m res}(ar{t})
angle$$

Bestandteile der effektiven zeitabhängigen Schrödinger–Gleichung

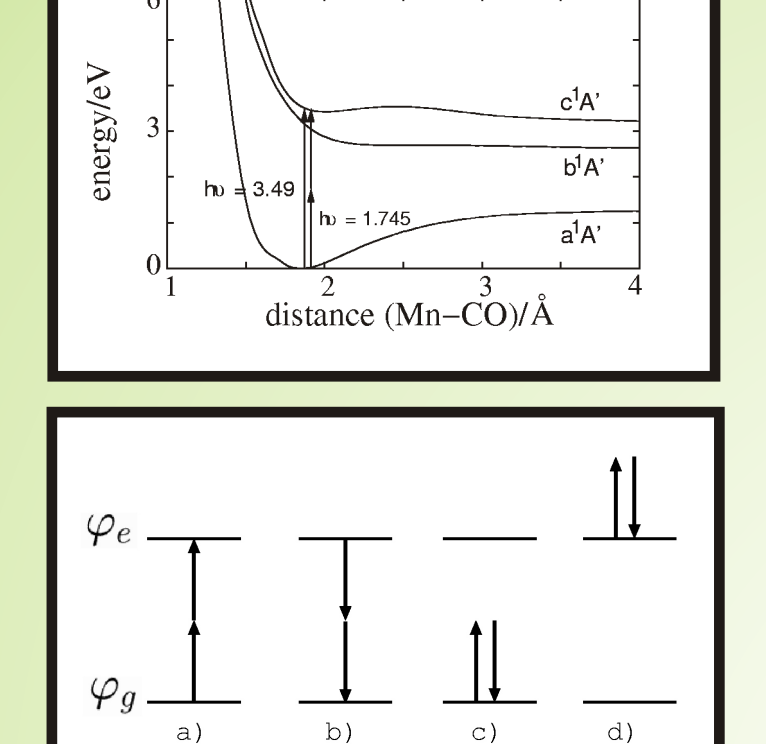
$$\mathcal{H}_{ ext{mol}} = \hat{P} H_{ ext{mol}} \hat{P} \hspace{0.5cm} \mathcal{H}_{ ext{field}}(t) = \hat{P} H_{ ext{field}}(t) \hat{P}$$

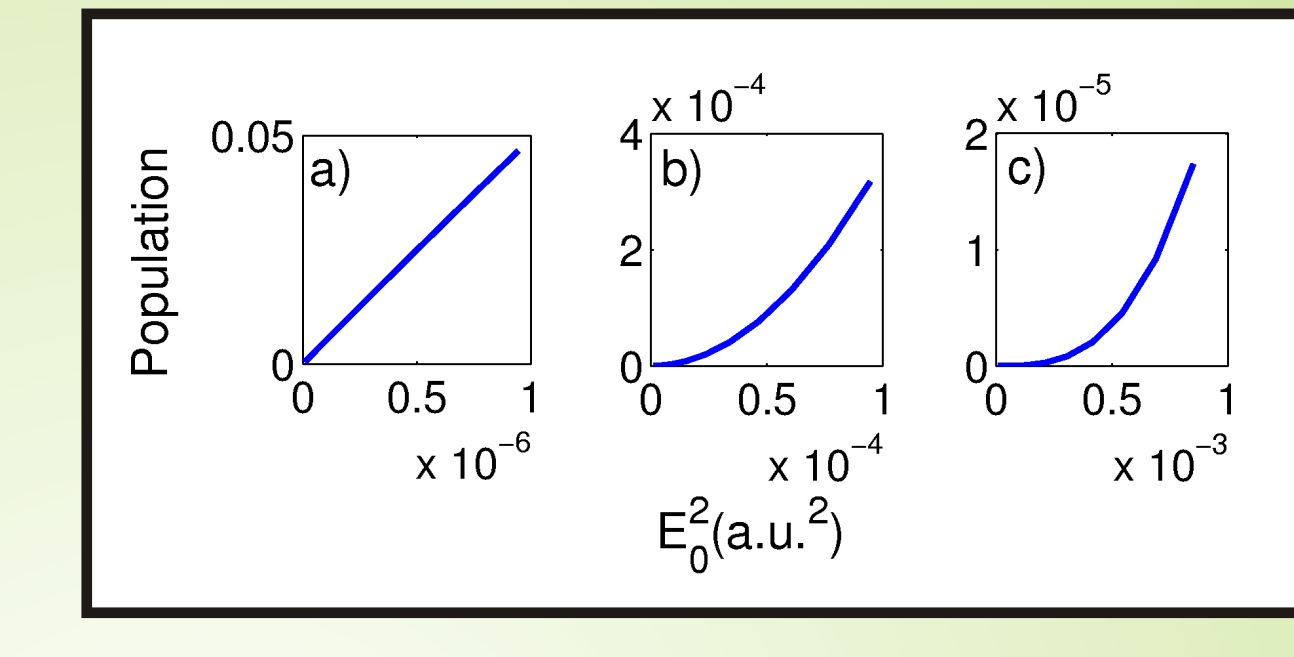
zeitlich nichtlokale und in der Feldstärke nichtlineare effektive Kopplung

$$\mathcal{H}_{ ext{field}}^{ ext{(eff)}}(t,ar{t}) = -rac{i}{\hbar}\hat{P}H_{ ext{field}}(t)\hat{Q}U_{ ext{nonr}}^{ ext{(mol)}}(t-ar{t})S_{ ext{nonr}}(t,ar{t})\hat{Q}H_{ ext{field}}(ar{t})\hat{P}$$

$$U_{
m nonr}^{
m (mol)}(t) = \exp{-(rac{i}{\hbar}\hat{Q}H_{
m mol}\hat{Q}t)}$$
  $S_{
m nonr}(t,t_0) = \hat{T}\exp{(-rac{i}{\hbar}\int\limits_{t_0}^t dar{t}U_{
m nonr}^{
m (mol)}(ar{t}-t_0)\;\hat{Q}H_{
m field}(ar{t})\hat{Q}\;U_{
m nonr}^{
m (mol)}(ar{t}-t_0))}$ 

## Erste Ergebnisse





Population nach 1-, 2- und 3-Photonanregung

$$\mathcal{H}_{ ext{field}}^{(II)}(t,ar{t}) = -rac{i}{\hbar}\hat{P}H_{ ext{field}}(t)\hat{Q}U_{ ext{nonr}}^{( ext{mol})}(t-ar{t})\hat{Q}H_{ ext{field}}(ar{t})\hat{P}$$

Einführung der Zustandsdichte der nicht-resonanten Niveaus

$$\varrho(\Omega) = \sum_{x \in K} \delta(\Omega - \omega_{xK})$$

effektive Kopplung wird zeitlich lokal

$$\mathcal{H}_{\text{field}}^{(II)}(t,\bar{t}) = -\frac{i}{\hbar}\mathbf{E}(t)\hat{P}\hat{\mu} \left[\int d\Omega \ \varrho(\Omega)e^{-i\Omega(t-\bar{t})}|\psi(\Omega)\rangle\langle\psi(\Omega)|\right]\hat{\mu}\hat{P}\mathbf{E}(\bar{t}) \approx -\delta(t-\bar{t})\mathbf{E}(t)\hat{\mu}^{(\text{II})}\mathbf{E}(t)$$

effektiver 2–Photonen–Übergangsdipoloperator

$$\hat{\mu}^{(\mathrm{II})} = rac{i\pi}{\hbar} \hat{P} \hat{\mu} |\psi(\bar{\Omega})\rangle \varrho(\bar{\Omega}) \langle \psi(\bar{\Omega})| \hat{\mu} \hat{P}$$

#### Zukünftige Vorhaben

- Vergleich mit exakt lösbarem Modell
- Relation zu nichtlinearen Response-Funktionen
- Simulation von Pump-Probe-Experimenten

## Optimale Kontrolle

$$J(t_f; \mathbf{E}) = \mid \langle \Psi_{ ext{tar}} | \Psi_{ ext{res}}(t_f) 
angle \mid^2 - rac{1}{2} \int\limits_{t_0}^{t_f} dt \; \lambda(t) \mathbf{E}^2(t)$$

Benutzung einer allgemeinen zeitlich lokalen effektiven Kopplung

$$\mathcal{H}_{\mathrm{field}}^{(\mathrm{eff})}(t,ar{t}) = \delta(t-ar{t}) \sum_{N} \mathcal{H}_{\mathrm{field}}^{(N)}(t) \equiv -\delta(t-ar{t}) \sum_{N=0}^{\infty} \hat{\mu}^{(N)} \mathbf{E}^{N}(t)$$

Gleichung zur Bestimmung desjenigen Laser-Pulses, der die gestellte Kontrollaufgabe löst

$$\mathbf{E}(t) = \frac{2}{\hbar \lambda(t)} \times \operatorname{Im} \left\{ \langle \Psi_{\text{res}}(t_f) | \Psi_{\text{tar}} \rangle \langle \Theta_{\text{res}}(t) | \frac{\partial \mathcal{H}_{\text{field}}(t)}{\partial \mathbf{E}(t)} | \Psi_{\text{res}}(t) \rangle \right\}$$

$$rac{\partial \mathcal{H}_{ ext{field}}(t)}{\partial \mathbf{E}(t)} = -\sum\limits_{N} \hat{\mu}^{(N)} N \mathbf{E}^{N-1}(t)$$